

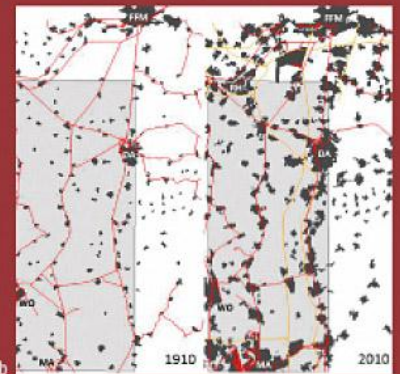
Hoppe, A. & Lehné, R.: Editorial 515	Lehné, R.J., Hoselmann, C., Heggemann, H., Budde, H. & Hoppe, A.: Geological 3D modelling in the densely populated metropolitan area Frankfurt/Rhine-Main. [<i>Geologische 3D-Modellierung in der dicht besiedelten Metropolregion Frankfurt/Rhein-Main.</i>] (9 figs., 2 tables) 591
Hoppe, A.: Cities and geology. [<i>Städte und Geologie.</i>] (4 figs., 1 table) 517	***
Pi, R. & Vilà, M.: The 1 : 5000 Urban Geological Map of Catalonia. [<i>Die Geologische Stadtkarte von Katalonien 1 : 5000.</i>] (4 figs.) 525	
Bückner, C.: Local Agenda 21: Natural resources in German urban sustainability strategies. [<i>Lokale Agenda 21: Natürliche Ressourcen in den Nachhaltigkeitsstrategien deutscher Großstädte.</i>] (1 fig.) 535	Wrede, V.: Research borehole Paffrather Mulde 1 (Rhenish Mountains, Germany): structural interpretations. [<i>Forschungsbohrung Paffrather Mulde 1 (Bergisches Land, Deutschland): strukturgeologische Interpretation.</i>] (6 figs.) 605
Royse, K.R., Banks, V.J., Bricker, S.H. & Marchant, A.P.: Can sustainable development be achieved if geology is ignored? [<i>Lässt sich eine nachhaltige Entwicklung trotz Missachtung der Geologie erreichen?</i>] (6 figs., 1 table) 541	Schintgen, T. & Förster, A.: Geology and basin structure of the Trier-Luxembourg Basin – implications for the existence of a buried Rotliegend graben. [<i>Geologie und Beckenstruktur des Trier-Luxemburger Beckens – Hinweise für die Existenz eines verdeckten Rotliegend-Grabens.</i>] (7 figs., 2 tables) 615
Cambier, G.M.G. & Devleeschouwer, X.A.J.: A GIS-based methodology for creating 3D geological models in sedimentary environment: application to the subcrop of Brussels. [<i>Eine GIS-basierte Methode zur Erstellung von dreidimensionalen geologischen Modellen im sedimentären Umfeld: Anwendung auf den Untergrund von Brüssel.</i>] (6 figs., 1 table) 557	Mezger, J.E., Felder, M. & Harms, F.-J.: Crystalline rocks in the maar deposits of Messel: key to understand the geometries of the Messel Fault Zone and diatreme and the post-eruptional development of the basin fill. [<i>Kristallingesteine in den Maarablagerungen von Messel: Schlüssel zum Verständnis der Geometrien der Messel-Störungszone und des Vulkanschlots und der posteruptiven Beckenentwicklung.</i>] (11 figs., 4 tables) 639
Panteleit, B., Jensen, S., Seiter, K., Budde, H. & McDiarmid, J.: A regional geological and groundwater flow model of Bremen (Germany): an example management tool for resource administration. [<i>Ein regionales Struktur- und Strömungsmodell als Managementwerkzeug für die Verwaltung – am Beispiel Bremen (Deutschland).</i>] (9 figs., 1 table) 569	Stober, I., Jodocy, M. & Hintersberger, B.: Gegenüberstellung von Durchlässigkeiten aus verschiedenen Verfahren im tief liegenden Oberjura des südwestdeutschen Molassebeckens. [<i>Comparison of hydraulic conductivities determined with different methods in the Upper Jurassic of the South-West German Molasse Basin.</i>] (11 figs., 6 tables) 663
Coli, M. & Rubellini, P.: Geological anamnesis of the Florence area, Italy. [<i>Eine geologische Anamnese von Florenz, Italien.</i>] (11 figs.) 581	

Titelbild / Frontpage
From Pi & Vilà (Fig. 2): Part of a 1 : 5000 Urban Geological Map of Catalonia (sheet Barcelona-Vallvidrera).

Diese Seite / This page
a: View of downtown Florence.
b: From Lehné et al. (Figs. 2a, d): Development of the metropolitan region Frankfurt/Rhine-Main in the past 100 years.
c: From Cambier & Devleeschouwer (Fig. 6b): 3D geological modelling of the Brussels substratum.
d: From Panteleit et al. (Fig. 6b): Interpolated hydraulic permeabilities in the shallow subsurface of Bremen.
e: From Royse et al. (Fig. 2): 3D geological model of London from the Thames Estuary to the Lower Lee Valley (Olympic Park 2012 site).



a



b